

大阪工業大学 正会員 福田 譲

○ 大阪工業大学大学院 学生会員 今西 肇

大阪工業大学大学院 学生会員 藤原一薰

1. まえがき

マサ土のような風化砂質土は、水に対する安定性が小さく、浸水により盛土構造物がしばしば破壊することは周知の事実である。これは、浸水により粒子間の接觸抵抗力が低下し、土粒が相対的に移動する際に起るものと考えられる。そこでこの報告では、浸水時のセン断抵抗力の低下状態を定量的には握るために試験機と、それを使って得た初期的な実験結果について報告する。

2. 試料

(1) 試料名：マサ土 (2) 採取地：大阪府

生駒山 (3) 鉱物：石英・長石・雲母・カオリナイト (4) 比重；2.65 (5) 流動限界；24.8% (6) PH；5.4 (7) 強熱減量；2.98
 (8) 供試土；自然乾燥後、約2.0mの高さから30回落下調整し、2.0mm以上の粒子を除去し供試土とした。 $(P_{10} \text{ 通過百分率} ; 90\%)$

3. 試験機

セン断抵抗力の低下を測定するために、図-1に示す新しい試験機を試作した。この試験機によれば、供試体に一定の垂直応力と一定のセン断応力が加えられ、平衡状態になったのち、底盤ボーラスストーンを通じて注水し浸水により生じる供試体の水平変位 $D_h(\text{sub})$ をダイヤルゲージで、またナットを適宜調節することによって任意の変位点におけるセン断抵抗力の低下値 $\Delta S(\text{sub})$ を、張力計からひずみ計を通して自動的にオシログラフに記録される。

4. 実験結果

先行荷重 $\sigma = 1.0, 3.0, 5.0 \text{ kN/cm}^2$ の各実験を行なったが、紙面の都合上ここでは、ヒリカナ $\sigma_0 = 5.0 \text{ kN/cm}^2$ の結果を示す。以下、正規圧密土と過圧密土を対比しながら

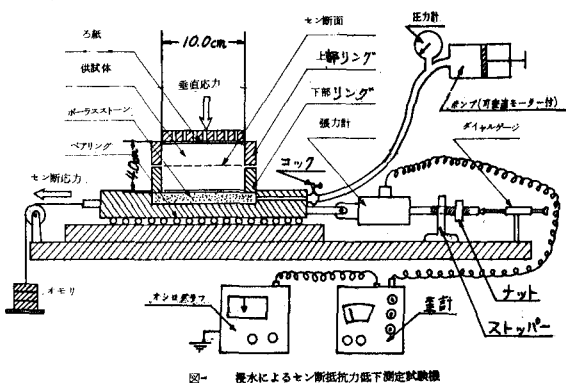
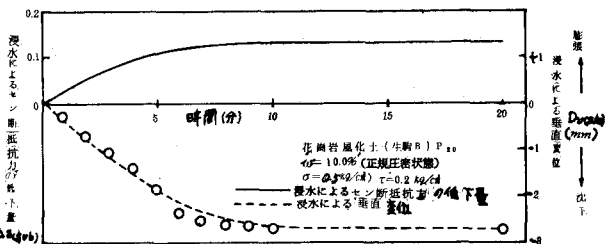
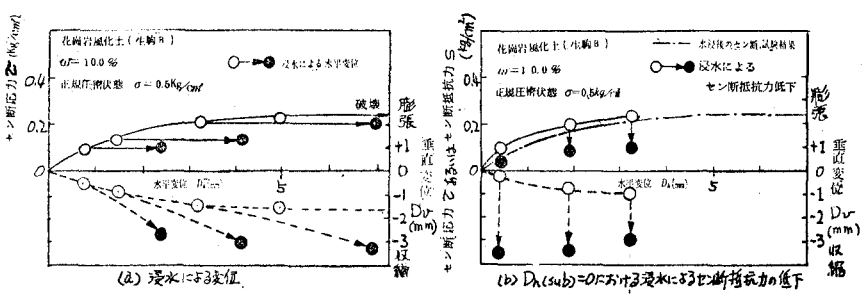


図-1 浸水によるセン断抵抗力低下測定試験機

図-2 中のセン断抵抗力の低下量 $\Delta S(\text{sub})$ 図-3 正規圧密土の試験結果 ($\sigma = 0.5 \text{ kN/cm}^2$)

浸水による水平変位、垂

直変位 ($D_{v(sub)}$) および、

セン断抵抗力の性状につ
いて述べることにする。

図-2は、正規圧密土の
浸水時に、オシログラフ
へ記録された $\Delta S_{(sub)}$ と
 $D_{v(sub)}$ の関係の一例を示
したものである。(i) σ

(試験時の垂直荷重) = 0.5 kg/cm²:

図-3

で示
され
るよ
うに、
正規
圧密
土は、
小さ
なて

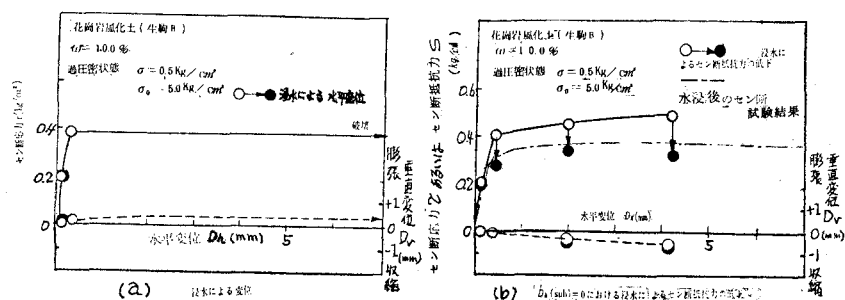


図-4. 過在土の試験結果 ($\sigma=0.5 \text{ kg/cm}^2$, $\sigma_0=5.0 \text{ kg/cm}^2$)

でも $D_{v(sub)}$ を生じ、

これが大なる程、 $D_{v(sub)}$

も大となり、約 0.25 mm

のでで破壊を生ずる。

従つて、小さなて
でも $\Delta S_{(sub)}$ を生ずる
ことになる。なお、
この際の $D_{v(sub)}$ は負
の値を示す。図-4
のように過圧密土は、
約 0.4% 以下のてで
は、 $D_{v(sub)}$ を生じな

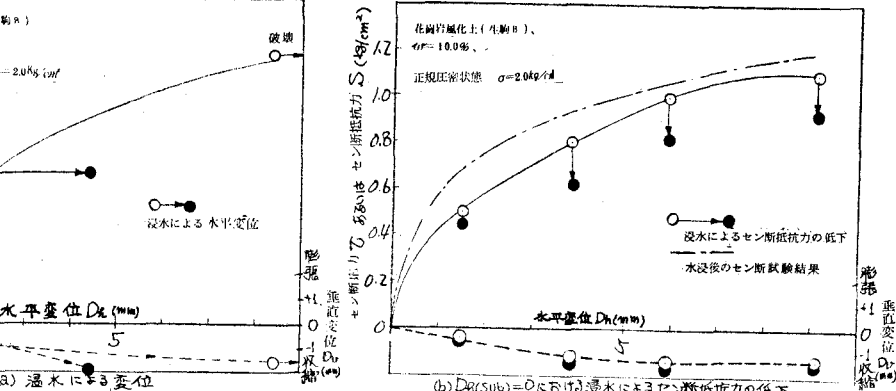


図-5. 正規圧密土の試験結果 ($\sigma=2.0 \text{ kg/cm}^2$)

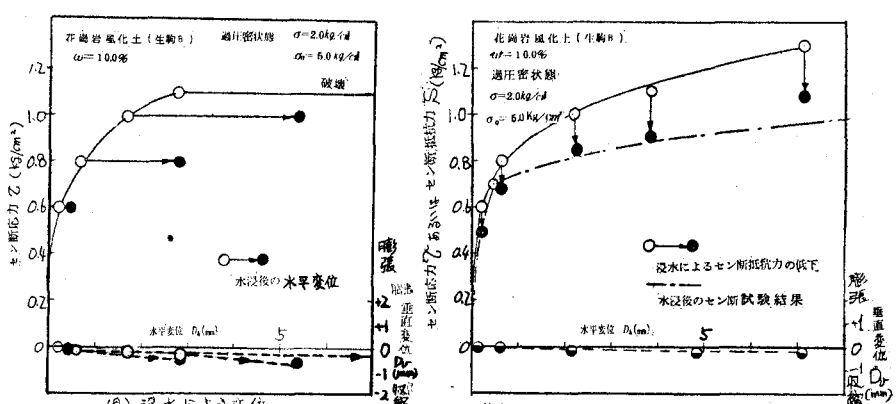


図-6. 過圧密土の試験結果 ($\sigma=2.0 \text{ kg/cm}^2$, $\sigma_0=5.0 \text{ kg/cm}^2$)

いが、その値を越すと急に $\Delta S_{(sub)}$ を生じ破壊する。この際の $D_{v(sub)}$ は、ほとんど認められない。(ii) $\sigma = 2.0 \text{ kg/cm}^2$: 図-5で示すように、正規圧密土は、 $\sigma = 0.5 \text{ kg/cm}^2$ の場合と同様の傾向を示し、これが大なるほど $D_{v(sub)}$ も大となり、約 1.0% のてで破壊を生ずる。過圧密土は図-6のよう、約 0.6% 以下のてでは $D_{v(sub)}$ をみないが、それより大なると $D_{v(sub)}$ を生じ、約 1.2% のてで破壊する。なお、この際の $D_{v(sub)}$ は、ほとんど認められない。

(iii) $\sigma = 4.0 \text{ kg/cm}^2$: 図-7のよう正規圧密土は、 $\sigma = 0.5, 2.0 \text{ kg/cm}^2$ の場合と同様、これが大なるほど $D_{v(sub)}$ は大となる。

図-8のよう過圧密土は、約 1.3% のてまで $\Delta S_{(sub)}$ は生じていないが、両者の $S_{(sub)}$ の値は、ほぼ近似している。なお、セン断面の形状を写真-1に示す。

5.まとめ

①の小さい正

規圧密土では、前述通りでかくなほど $D_{r(sub)}$ も大となるが、①が大な場合は②の大小にかかわらず、 $D_{r(sub)}$ は、ほぼ同じ値を示す。 $D_{r(sub)}$ については、一般に①が小なほど、②が小なほど、大となる。そして、 $S_{(sub)}$ は、①が大なほど、また②が大

なほど、大となる。一方過圧密土は、過圧密比(σ_0/σ)が大であるとある値のまでは $D_{r(sub)}$ を生じないが、ある値より大きくなると、急に $D_{r(sub)}$ を生じ破壊を生ずる。その際 $D_{r(sub)}$ はほとんど認められない。正規圧密土と過圧密土の両者を比較すると、 σ_0/σ が大な過圧密土の $S_{(sub)}$ は、正規圧密土のそれに比べ極めて大となるが、 σ_0/σ が小さい過圧密土は正規圧密土の $S_{(sub)}$ に近く似する。なお、浸水時と水浸後(24時間放置)のせん断抵抗力を比較すると、正規圧密土の $S_{(sub)}$ は、水浸後のせん断抵抗値に比べかなり小さくなる。過圧密土では、両者の差異は、ほとんど認められなかった。

6. あとがき

以上、新らしく試作した試験機による初期的な実験結果について述べたが、今後これらの実験結果を設計上に適用できうるよう努力したい。

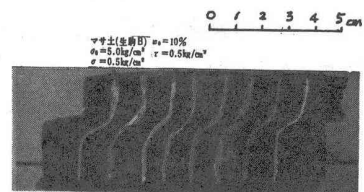
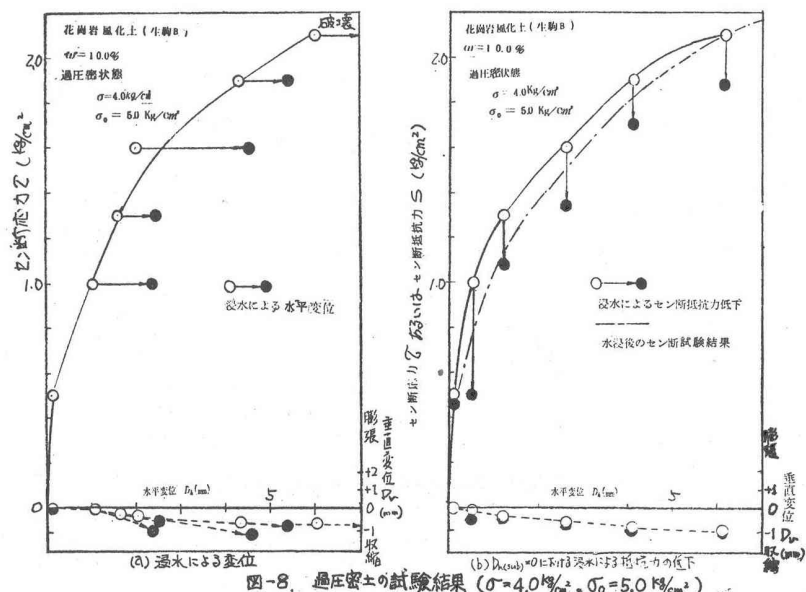
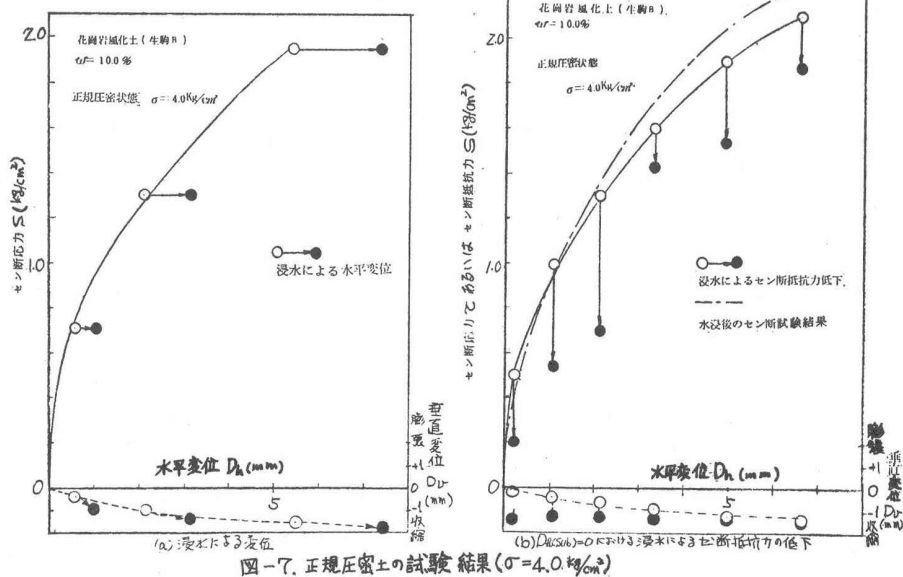


写真-1 セン断面の形状